

# Algoritmo di Cole

Giuseppe Crisafulli

10-05-2011

Algoritmi Avanzati  
a.a.2010/2011

# Outline

- 1 Introduzione
- 2 Strutture
  - Definizioni
  - Strutture dati
- 3 Merge
  - 1.1
  - 1.2
  - 2.1
  - 2.2
- 4 Correttezza
  - Dimensione  $M_t$
  - 3-cover
- 5 Complessità
  - Num Iterazioni
  - Num Processori
  - CREW
  - Spazio

# Cosa abbiamo visto ieri

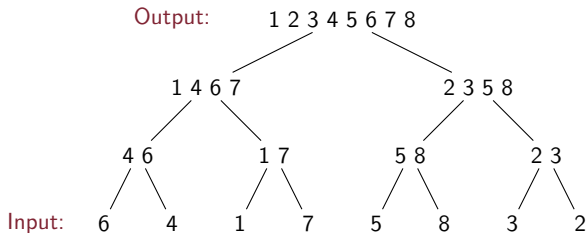
- Circuiti Comparatori
  - Tempo  $O(\frac{1}{2} \log n(\log n + 1))$
- PRAM CREW
  - $\frac{n}{\log n}$  processori in tempo  $O(\log^2 n)$

Vedremo oggi:

- PRAM CREW
  - $n$  processori in tempo  $O(\log n)$

# Come ridurre il tempo di esecuzione

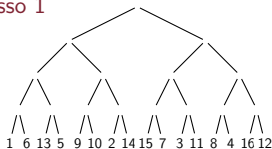
Per ridurre il tempo parallelo da  $O(\log^2 n)$  a  $O(\log n)$  è utile vedere l'algoritmo di ordinamento come un albero di ordinamento (Merge Tree)



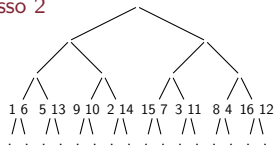
## Idea

L'algoritmo procede per fasi, inizialmente solo le foglie contengono elementi, nei passi successivi per ogni nodo  $u$  un vettore  $M_t(u)$  viene aggiornato.

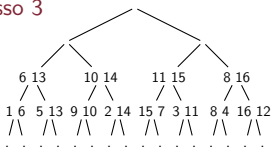
passo 1



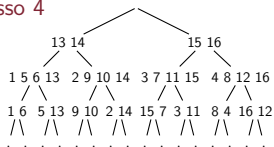
passo 2



passo 3



passo 4



# Alcune definizioni

## Predecessore-Successore

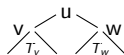
Dato un vettore  $A$ , un elemento  $a \in A$  e un elemento  $x \neq a$  si dice che:

- $a$  è **predecessore** in  $A$  di  $x$ , se  $a$  è il massimo in  $A$  più piccolo di  $x$ .
- $a$  è **successore** in  $A$  di  $x$  se  $a$  è il minimo in  $A$  più grande di  $x$ .

## 3-cover

Dati due vettori  $C$  e  $D$ , si dice che  $C$  ha copertura di grado 3 (**3-cover**) su  $D$  se per ogni due elementi adiacenti  $e_1$  e  $e_2$  in  $C$ , l'intervallo  $[e_1, e_2)$  contiene al più 3 elementi contenuti in  $D$ .

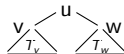
Sono necessarie alcune strutture aggiuntive:



- Vettore  $O$  (Origin), indica con un'etichetta (L o R) da dove proviene un elemento. Per un elemento  $e \in M_t(u)$ ,  $O_t(u)[e] = L$  (R) se  $e$  proviene dal sottoalbero  $T_v$  ( $T_w$ ).
- Vettore  $E$  (Extract),  $E_{t+1}(u)$  contiene gli elementi di  $M_t(u)$  che andranno in  $M_{t+1}(\text{padre}(u))$ .
- Vettore  $B_t$  (Before), per ogni elemento  $e \in M_t(u)$  proveniente da  $T_v$ , punta al predecessore in  $M_t(u)$  di  $e$  proveniente dal sottoalbero  $T_w$ .
- Vettore  $A_t$  (After), per ogni elemento  $e \in M_t(u)$  proveniente da  $T_v$ , punta al successore in  $M_t(u)$  di  $e$  proveniente dal sottoalbero  $T_w$ .

NOTA: Le definizioni di  $A_t$  e  $B_t$  si applicano simmetricamente se il nodo  $e$  proviene da  $T_w$ .

Altre strutture sono:

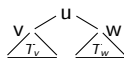


- Vettore  $R\_Ptr$ , per ogni elemento  $e \in M_t(u)$ , se  $e$  proviene dal sottoalbero  $T_w$ , punta al predecessore di  $e$  in  $E_{t+1}(v)$ .
- Vettore  $L\_Ptr$ , per ogni elemento  $e \in M_t(u)$ , se  $e$  proviene dal sottoalbero  $T_v$ , punta al predecessore di  $e$  in  $E_{t+1}(w)$ .
- Vettore  $P\_Ptr$ , per ogni elemento  $ev \in E_{t+1}(v)$  punta al predecessore di  $ev$  in  $M_t(u)$ .



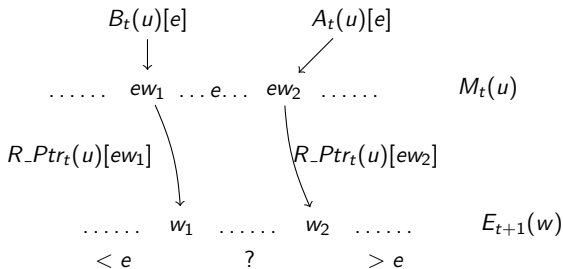
## Merge 1.1

I passi dell'algoritmo sono 4:



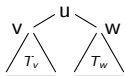
1.1 - Per ogni  $e \in M_t(u)$  che viene dal sottoalbero  $T_v$  calcolare il suo predecessore in  $E_{t+1}(w)$  e puntarlo in  $R\_Ptr_t(u)[e]$ .

Il calcolo viene effettuato dal processore legato all'elemento  $e$ .

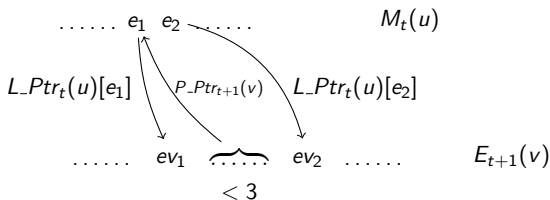


**Nota:** Questo passo prevede un numero costante di confronti se  $E_t(u)$  3-cover  $E_{t+1}(u)$ .

## Merge 1.2

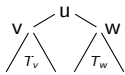


1.2 - Per ogni  $ev \in E_{t+1}(v)$  calcolo il predecessore in  $M_t(u)$ , il puntatore a questo elemento viene salvato in  $P\_Ptr_{t+1}(v)$ . Questo calcolo viene effettuato dai processori legati agli elementi di  $M_t(u)$ .

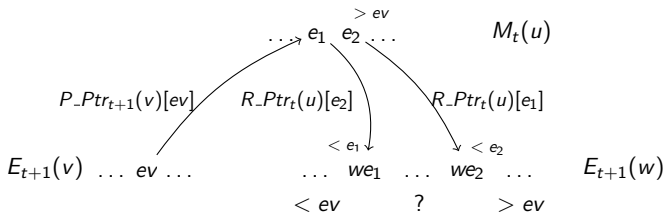


**Nota:** La proprietà di 3-cover di  $E_t(u)$  su  $E_{t+1}(u)$  assicura un numero di assegnamenti costante.

## Merge 2.1



2.1 Fondiamo le sequenze  $E_{t+1}(v)$  e  $E_{t+1}(w)$  in  $M_{t+1}(u)$ . Per ogni  $ev \in E_{t+1}(v)$  determinare il predecessore in  $E_{t+1}(w)$  in modo da sapere dove collocare  $ev$  in  $M_{t+1}(u)$ .



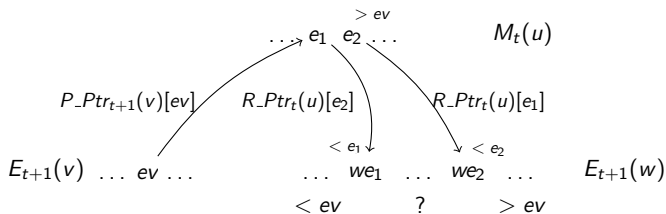
**Nota:** La proprietà di 3-cover di  $E_t(u)$  su  $E_{t+1}(u)$  assicura un numero di confronti costante.

## Merge 2.2

2.2 - Se  $M_{t+1}(u)$  non ha raggiunto la massima dimensione è necessario aggiornare le strutture dati per il prossimo passo. In realtà solo  $A_{t+1}$ ,  $B_{t+1}$ ,  $R\_Ptr$  e  $L\_Ptr$  non sono state già aggiornate nel corso dei passi precedenti.

Vediamo come costruire  $A_{t+1}$ , ricordando che:

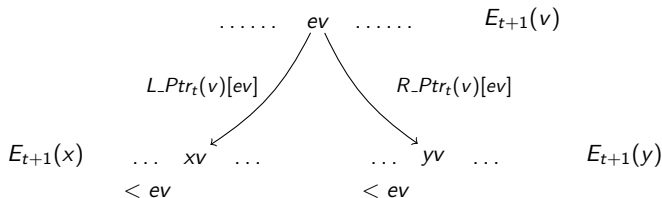
**Def:**  $A_{t+1}(u)[ev]$  esiste se  $O_{t+1}(u)[ev] = L$  e punta al successore in  $M_{t+1}(u)$  di  $ev$  proveniente dal sottoalbero  $T_w$ .



## Merge 2.2 (continua)

Ogni elemento  $ev \in E_{t+1}(v)$  è anche un elemento di  $M_t(v)$  quindi si possono usare le informazioni note sul nodo  $v$  per computare  $L\_Ptr_{t+1}(v)[ev]$ .

**Def.  $L\_Ptr$ :** per ogni elemento  $e \in M_{t+1}(u)$ , se  $e$  proviene dal sottoalbero  $T_v$ , punta al **predecessore** di  $e$  in  $E_{t+2}(v)$ .



$$L\_Ptr_{t+1}(u)[ev] = L\_Ptr_t(v)[ev] + R\_Ptr_t(v)[ev]$$

# Dimensione $M_t(u)$

Inizialmente abbiamo assunto che  $|M_{t+1}(u)| = 2 \cdot |M_t(u)|$  finché non si raggiunge la dimensione massima, in realtà per assicurare la proprietà di 3-cover è necessario precisare che, per un nodo  $u$  ad altezza  $h$ :

- $|M_t(u)|$  raddoppia fino al passo  $t'$  in cui raggiunge la dimensione massima per la prima volta;
- $E_{t''}(u)$ , per  $2h + 1 \leq t'' \leq 3h - 2$ , preleva un elemento ogni 4 da  $M_{t''-1}(u)$ ;
- $E_{3h-1}(u)$  preleva ogni elemento pari in  $M_{3h-2}(u)$ ;
- $E_{3h}(u)$  comprende ogni elemento in  $M_{3h-1}(u)$ .

**Lemma 2.1:** Se  $u$  è un nodo interno di altezza  $h$ ,  $M_{3h}(u)$  contiene tutti gli elementi del sottoalbero radicato in  $u$ .

**Dim:** Induzione su  $h \dots$

Dimensione  $M_t(u)$  (continua)

**Lemma 2.2:** Se  $u$  è un nodo interno di altezza  $h$ :

- 1 Se  $u$  non è il nodo più a destra allora  $|M_{2h+1}(u)| = 2$  e  $|M_t(u)|$  raddoppia per  $2h + 1 < t \leq 3h$ .
- 2 Se  $u$  è il nodo più a destra allora esiste una prima iterazione  $k \geq 2h + 1$  per cui  $|M_k(u)| > 0$  ed uguale a 1 o 2, e per le fasi  $k < t \leq 3h$ ,  $|M_t(u)|$  vale  $2|M_{t-1}(u)|$  o  $2|M_{t-1}(u)| + 1$ .

**Dim:** Si procede per induzione su  $h$ .

**2.1:** Passo base:  $h = 1 \Rightarrow M_3 = 2$ .

Passo induttivo:

Per  $t = 2h + 1$  sappiamo  $|M_t(u)| = \lfloor \frac{|M_{t-1}(v)|}{4} \rfloor + \lfloor \frac{|M_{t-1}(w)|}{4} \rfloor$

Ma  $v$  ha altezza  $h' = h - 1$ :

$$M_{2h'+1}(v) = 2 = M_{2(h-1)+1}(v) = M_{2h-1}(v) = M_{t-2}(v)$$

$$\Rightarrow M_{t-1}(v) = M_{t-1}(w) = 4 \Rightarrow M_{2h+1}(u) = 2$$



Dimensione  $M_t(u)$  (continua)

- ② Se  $u$  è il nodo più a destra allora esiste una prima iterazione  $k \geq 2h + 1$  per cui  $|M_k(u)| > 0$  ed uguale a 1 o 2, e per le fasi  $k < t \leq 3h$ ,  $|M_t(u)|$  vale  $2|M_{t-1}(u)|$  o  $2|M_{t-1}(u)| + 1$ .

Dim.

Per  $t = k$  si dimostra che  $|M_k(u)| \leq 2$  come in 2.1.

Consideriamo  $\max\{k, 2h + 1\} < t \leq 3h - 2$  e distinguiamo due casi:

1 - Il figlio destro  $w$  esiste:

$$|M_t(u)| = \frac{|M_{t-1}(v)|}{4} + \lfloor \frac{|M_{t-1}(w)|}{4} \rfloor$$

Per  $t - 1 \geq 2h - 1$  per ipotesi induttiva:

$$|M_{t-1}(v)| = 4|M_{t-3}(v)| \quad \text{e} \quad \lfloor \frac{|M_{t-1}(w)|}{4} \rfloor = |M_{t-3}(w)|$$

$$|M_t(u)| \leq |M_{t-3}(v)| + \max\{1, |M_{t-3}(w)|\}$$

Allo stesso modo:

$$|M_{t-1}(u)| = \frac{|M_{t-3}(v)|}{2} + \lfloor \frac{|M_{t-3}(w)|}{2} \rfloor$$

$$\Rightarrow |M_t(u)| = 2|M_{t-1}(u)| \quad \text{o} \quad 2|M_{t-1}(u)| + 1.$$



Dimensione  $M_t(u)$  (continua)

- 2 Se  $u$  è il nodo più a destra allora esiste una prima iterazione  $k \geq 2h + 1$  per cui  $|M_k(u)| > 0$  ed uguale a 1 o 2, e per le fasi  $k < t \leq 3h$ ,  $|M_t(u)|$  vale  $2|M_{t-1}(u)|$  o  $2|M_{t-1}(u)| + 1$ .

2 - Il figlio destro  $w$  non esiste:

$$|M_t(u)| = \frac{|M_{t-1}(v)|}{4} + 0$$

Per  $t - 1 \geq 2h - 1$  per ipotesi induttiva:

$$|M_{t-3}(v)| = 0 \quad \text{oppure} \quad \lfloor \frac{|M_{t-1}(v)|}{4} \rfloor = |M_{t-3}(v)|$$

$$|M_t(u)| \leq |M_{t-3}(v)|$$

Allo stesso modo:

$$|M_{t-1}(u)| = \lfloor \frac{|M_{t-3}(v)|}{2} \rfloor$$

$$\Rightarrow |M_t(u)| = 2|M_{t-1}(u)| \quad \text{o} \quad 2|M_{t-1}(u)| + 1.$$



# Lemma 2.3

**Lemma 2.3:** Scelto un  $k \geq 1$ , ogni intervallo di adiacenti ampio  $k$  in  $E_t(u)$  contiene al più  $2k + 1$  elementi di  $E_{t+1}(u)$ .

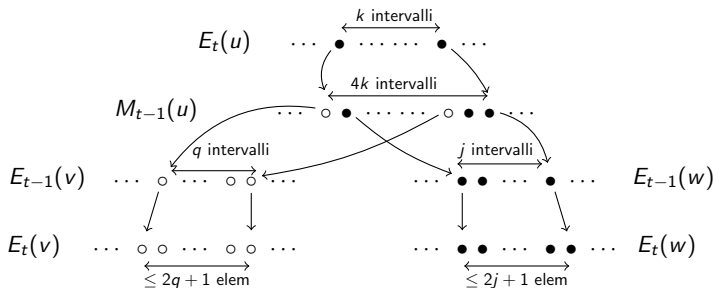
**Dim.** Procediamo per induzione su  $t$ .

**Passo base:** Se  $E_t(u) = \emptyset$  allora  $|E_{t+1}(u)| \leq 1$ .

**Passo Induttivo:**

$$q + j = 4k + 1 \Rightarrow |M_t(u)| \cong 2q + 1 + 2j + 1 = 2(q + j) + 2 = 8k + 4$$

$$|\Rightarrow E_{t+1}(u)| = \lfloor M_t(u)/4 \rfloor = 2k + 1 \quad \square$$



# Numero di operazioni per processore

**Lemma 2.4:** Indichiamo con  $L(u)$  il numero di elementi contenuti nel sottoalbero radicato in  $u$ . Al più  $\frac{15}{4} \cdot L(u)$  confronti vengono effettuati durante la computazione dei vettori  $M_t(u)$ .

**Dim:** Sia  $t'$  la fase in cui  $M_{t'}(u)$  acquisisce la dimensione  $s$ , il numero di confronti in questa fase sono:

**Passo 1.1:** 2 per ognuno degli  $\frac{s}{2}$  elementi di  $M_{t'-1}(u) \Rightarrow 2 \cdot \lfloor \frac{s}{2} \rfloor$

**Passo 2.1:** 2 per ogni elemento in  $M_{t'}(u) \Rightarrow 2s$

**Totale:**  $3s$  confronti nella fase  $t'$ .

La somma su tutte le iterazioni  $t \Rightarrow 3 \cdot \sum_{i \geq 0} \frac{L(u)}{2^i} \leq 6L(u)$

Ma quando si raggiunge la dimensione massima, per le due fasi successive viene fatto un solo confronto per elemento.

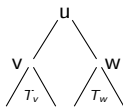
$$\Rightarrow \frac{15}{4} L(u)$$



# Numero di iterazioni

**Lemma 2.5:** L'algoritmo termina in  $3 \log n$  iterazioni.

Se  $M_t(v)$  raggiunge la massima dimensione al passo  $t = t'$  allora  $M_t(u)$  raggiunge la sua massima dimensione al passo  $t' + 3$ . Ma l'albero contiene  $\log n$  livelli.



# Numero di processori

**Def:** Al passo  $t$  i nodi  $z$  per cui  $M_{t'}(z)$  ha raggiunto la massima dimensione ( $t' \leq t$ ) si dicono **inattivi**, tutti gli altri si dicono **attivi**.

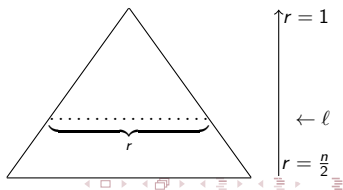
**Lemma 2.6:** L'algoritmo usa  $\frac{12}{7}n + (4n + 4\lceil \log n \rceil)$  processori.

**Dim:** Consideriamo la fase  $t'$ , se  $|M_{t'+1}(u)|$  ha dimensione  $s$  i processori legati a  $M_{t'}(u), E_{t'+1}(v)$  e  $E_{t'+1}(w)$  sono  $\lfloor 3 \cdot \frac{s}{2} \rfloor + 4$ . I nodi che all'iterazione  $t'$  sono inattivi non hanno bisogno di processori.

Al livello più profondo  $\ell$ , che contiene  $r$  nodi, usiamo  $\lfloor 3 \cdot \frac{n}{2} \rfloor + 4r$  processori.

Sommando su tutti i nodi attivi:

$$\frac{12}{7}n + (4n + 4\lceil \log n \rceil)$$



# Teorema 2.1

**Teorema 2.1:** In una PRAM CREW l'algoritmo di sorting parallelo può lavorare in tempo  $O(\log n)$  usando  $5\frac{5}{7}n + 4\lceil\log n\rceil$  che eseguono al più  $\frac{15}{4}n$  confronti.

Segue dai lemma 2.4, 2.5 e 2.6.

# Spazio utilizzato

Un implementazione efficiente può utilizzare spazio  $O(n)$ .

Un implementazione semplice usa  $O(n \log n)$  spazio. Questa usa spazio  $O(L(u))$  per ogni nodo  $u$ .

Tuttavia molto spazio può essere riutilizzato, infatti in un passo generico  $t + 1$  sono necessarie solo le strutture per il passo  $t$  e  $t + 1$ .

Domande??